

# YİNELEMELİ TERS ÇÖZÜM YÖNTEMİ İLE YERALTI YOĞUNLUK DAĞILIMININ SAPTANMASI

## Determination of Underground Density Distribution Using Iterative Inverse Techniques

Coşkun SARI\* ve Mustafa ERGÜN\*\*

### ÖZET

Bu çalışmada, gravite verisinin yaratacağı yeraltı yoğunluk dağılımının, alanı (hacmi) en küçük yapma ve cismin ağırlık merkezi etrafında yoğunlaştırılması ölçütlerine göre yinelemeli ters çözüm yöntemiyle hesaplanması işlemleri gösterilmeye çalışılmıştır. Verideki varolan gürültünün de göz önüne alınmasıyla, gürültü ve yoğunluk ağırlık fonksiyonları tanımlanarak, problemin çözümünü en küçük kareler yöntemiyle saptamak olasıdır.

Kuramsal modellerle yapılan uygulamalarda, mutlaka yakın çözümlere ulaşılmıştır. Bu yöntemle, jeolojik sınırlamalar fazla bir kişisel varsayımlar getirilmeden çözümün içeresine sokulabilmektedir. Ayrımlılık matrisiyle blokların saptanarı yoğunluklarının anlamlı olup olmadığı ortaya konabilmektedir.

### ABSTRACT

In this study, anomalous density distribution of the underground is obtained using iterative techniques according to minimization of volume and concentration around the center of gravity criteria. Noise is also included into formulation and the least squares approach of solution can be used after the noise and density weighting functions being described and incorporated.

The practical effectiveness of the method was tested for theoretical models with very satisfactory results. The advantage of this approach is that desirable geologic characteristics are automatically incorporated into the model with a minimum of subjective judgments on the part of the interpreter. Resolution matrix can be easily used to determine the contributions of block densities to the solution.

### GİRİŞ

Gauss teoremine göre sonsuz sayıda yoğunluk veya manyetizasyon dağılımı aynı gravite veya manyetik alanları verebilmektedir. Ters çözüm işlemlerinde, varolan bu belirsizliği ortadan kaldırmak için gözlenen anomaliyi verebilecek eldeki bilgileri ve varsayımları gerçekleştirecek fiziksel veya geometrik özellikler bulunmaya çalışılır.

Matematiksel olarak tanımlanabilen yapıların yaratacağı anomalî deðerleri sayısal olarak hesaplanabiliyor-sa, elde edilen verilerden bu anomalîye neden olan kaynaðın fiziksel deðiþtirgenleri ters çözüm işlemlerini yardımîya saptanabilir. Temel olarak iki türlü ters çözüm yöntemi bulunmaktadır (Bott 1973).

(i) Doðrusal Ters Çözüm: Burada anomalîye neden olan yapı belli olup, yalnızca yoğunluk veya başka bir fiziksel deðiþtirgen (örneðin, manyetizasyon, hız, öz-direnç vs.) deðiþimi söz konusudur. Oluþturulan doðrusal

denklemler yoluyla integral denklemlerinin çözümü aranır. En uygun çözüm matris işlemlerini kullanmaktadır.

(ii) Doðrusal Olmayan Ters Çözüm: Yoðunluğu veya başka bir fiziksel deðiþtirgeni bilinen bir yapının boyutları saptanmak istendiðinde bu çözüm yöntemi geçerli olur. Yapının köşe koordinatları doðrusal olmayan integral denklemlerinin çözümünü içermektedir. Yineleme veya optimizasyon yöntemlerinden biri kullanılarak sonuca ulaþılabilir (Al-Chalabi 1972).

Ters çözümde amaç, N gözlem deðeri ile M deðiþtirgen arasındaki ilişkisi saptamaya çalışmaktadır. Kullanaðımız model yapı ile hesaplanan anomalî deðeri arasında fonksiyonel bir iliðki vardır:

$$G_i \text{ (Gözlem Deðerleri)} \quad i : 1, 2, \dots, N$$

$$C_i \text{ (Hesaplanan Deðer)} \quad F_i(\rho_j) \quad j : 1, 2, \dots, M$$

Varılmak istenen sonuç, gözlem deðeri ile hesaplanan deðer arasındaki farkı en aza indirmektedir.

\* Dokuz Eylül Üniversitesi, Mühendislik ve Mimarlık Fakültesi, Jeoloji Mühendisliği Bölümü, Bornova-IZMİR

Doğrusal olmayan ters çözüm yönteminde karşılaşılan güçlükler nedeniyle problemimizi doğrusallaştırarak irdelemeye çalışmak daha yararlıdır.

Doğrusal denklemlerin çözümüne ilişkin ayrıntılı bilgiler Lanczos (1961) tarafından matematiksel olarak verilmiş, jeofizik uygulamaları ise Jackson (1972) ve Wiggins (1972) tarafından irdelenmiştir. Backus ve Gilbert (1967, 1968 ve 1970) çalışmalarında jeofizik ters çözüm problemine temel oluşturacak kuramlar ortaya koymuşlardır. Ters çözümden amaç, sonucun tekil olmaması nedeniyle veriye uygun belirti modelin olası tüm modellerini içeren Hilbert uzayında aranmasına çalışılmıştır. Green (1975) değişirgen uzayındaki başlangıç modelden olan "uzaklığı" en küçük yapmaya veya yineleme yöntemini kullanarak tek yoğunluk çözümüne ulaşmaya çalışmıştır. Jackson (1972) ve Pedersen (1977 ve 1979) ise genelleştirilmiş ters çözüm yöntemini kullanmışlardır. Mottl ve Mottlova (1972), Safon, Vasseur ve Ceur (1977), Ceur ve Bayer (1980), Fisher ve Howard (1980) da en küçük kareler ve doğrusal programlama yöntemini kullanarak gravite ters çözümü konusunda çalışmalar yapmışlardır. Last ve Kubik (1983) ise yapının geometrik fonksiyonunu en küçüğe indirgeyecek (en küçük hacim) çözüm yollarını önermişlerdir. Bu yöntemlerin veya çözüm yollarının her biri belirli bir jeolojik problemi çözmede ve yorumlamada yararlı olabilirler. Ama her zaman göz önünde bulundurulması gereken kavram, ters çözümde sonucun hiçbir zaman tekil olmadığıdır. Ters çözüm kuramları, aynen matematiksel istatistik kuramlarında olduğu gibi sorunu aydınlatıcı olarak kullanılmalı, fakat temel dayanak olarak alınmamalıdır.

Gözlem değeri ( $G_i$ ) ile hesaplanan değer ( $C_i$ ) arasındaki farkı en aza indirgeyebilmek için problemimizi, başlangıçta ilk model etrafında doğrusallaştırmamız gerekmektedir. Taylor serilerine açıp, ikinci ve daha yüksek türslü terimleri atarsak, problemimiz doğrusallaşmış olur.

$$\Delta G_i = G_i - C_i \sum_{j=1}^M \frac{\partial C_i}{\partial p_j} \Delta p_j \quad (1)$$

Bu modeli değiştirenlere ayırma ve işlevleri doğrusallaştırma işlemleri bizi N denklemli, M bilinmeyecek denklemler kümesi çözümüne götürür. Her aşamada, değiştirenlere eklenecek artım miktarını belirleyebilmek için hesaplanan  $C_i$  değerlerini ve onların değiştirenlere göre kısmi türevlerinin ( $\partial C_i / \partial p_j$ ) değerlerini hesaplamamız gereklidir. Buradaki kısmi türevler matrisi A (N x M) :

$$[A] = \sum_{j=1}^M \frac{\partial C_i}{\partial p_j}, \quad i = 1, 2, \dots, N \quad (2)$$

olar. [A] matrisinin satırları herhangi bir gözlem noktasının M değiştirenlere göre kısmi türevlerinin değerlerini, sütunları ise N gözlem noktasının herhangi bir değiştirenlere göre kısmi türevlerinin değerlerini gösterir. [A] matrisinin matris gösterimi aşağıdaki gibidir.

$$\begin{bmatrix} \frac{\partial C_1}{\partial p_1} & \frac{\partial C_1}{\partial p_2} & \dots & \frac{\partial C_1}{\partial p_M} \\ \frac{\partial C_2}{\partial p_1} & \frac{\partial C_2}{\partial p_2} & \dots & \frac{\partial C_2}{\partial p_M} \\ \frac{\partial C_3}{\partial p_1} & \frac{\partial C_3}{\partial p_2} & \dots & \frac{\partial C_3}{\partial p_M} \\ \vdots & \vdots & \ddots & \vdots \\ \frac{\partial C_N}{\partial p_1} & \frac{\partial C_N}{\partial p_2} & \dots & \frac{\partial C_N}{\partial p_M} \end{bmatrix} \quad (N \times M)$$

$$= [A]_{(N \times M)}$$

Denklem (1)'i matris düzende yeniden yazıp düzenlerssek, bulunması istenen değiştirenenin artım miktarını  $\Delta p$  matris işlemleri yoluyla bulabiliyoruz.

$$[\Delta G] = [A] \cdot [\Delta p]$$

$$(N \times 1) \quad (N \times M) \quad (M \times 1)$$

İkinci adım olarak, doğrusallaştırma işlemini modelin uzay boyutunu dikdörtgenler prizmaları şeklinde tasarlayıp yoğunluk (veya başka bir fiziksel değiştirenen) değişimlerini gözönüne alarak da yapabiliyoruz (Green 1975, Last ve Kubik 1983).

$$g_i = \sum_{j=1}^M a_{ij} d_i, \quad i = 1, 2, \dots, N \quad (4)$$

Burada  $d_j$ , j'inci bloğun yoğunluğu,  $a_{ij}$  ise j'inci bloğun etkisinin 1'inci gravite değerine katmasını belirtir. Bu nedenle, blokların iki boyutlu gravite etkisinin saptanması için (Telford ve diğ. 1976)  $a_{ij}$  değerlerinin tüm gözlem noktaları ve bloklar için hesaplanması gereklidir (Şekil 1).

A matrisinin her elemanın değeri:

$$a_{ij} = 2k \left( x_i - x_j + \frac{b}{2} \right) \log \frac{r_2 r_3}{r_1 r_4} + b \log \frac{r_4}{r_3} -$$

$$(z_j + \frac{h}{2}) (\Theta_4 - \Theta_2) + (z_j + \frac{h}{2}) (\Theta_3 - \Theta_1) \quad (5)$$

olarak bulunur.  $k$  evrensel çekim katsayısını simgeler. Denklem (4)'ün matris üzerindeki gösterimi

$$[G] = [A] \cdot [D]$$

$$(N \times 1) \quad (N \times M) \quad (M \times 1)$$

olarak yazılır. Ters çözümde saptanmak istenen ise, [D] matrisi ile simgelenen her bloğun yoğunluklarıdır. Aydin (1987), manyetik anomaliler üzerinde yaptığı benzer bir çalışma ile yeraltı manyetizasyon dağılımının saptanabileceğini göstermiştir.

## TERS ÇÖZÜMLE İLGİLİ KURAMSAL TARTIŞMA

Doğrusal denklemelerin çözümü ile ilgili matematiksel yaklaşımalar Lanczos (1961) tarafından ortaya konmuş, Jackson (1972) ve Wiggins (1972) tarafından da jeofizike uyarlanmıştır.

$[G] = [A][D]$  gibi bir denklem sistemini çözmek için  $[D] = [A]^T[F]$  gibi yeni bir denklem sistemini ekle-yerek tüm sistemi kare matris haline dönüştürelim.

$$S = \begin{bmatrix} 0 & A \\ A^T & 0 \end{bmatrix}, \quad Z = \begin{bmatrix} G \\ C \end{bmatrix}, \quad X = \begin{bmatrix} D \\ F \end{bmatrix} \quad (7)$$

Burada  $[S]$  matrisi  $(N+M) \times (N+M)$  boyutlu bakisik bir matris olup değeri sıfır eşit olmayan  $2p$  kadar Eigen değerine sahiptir. Çiftler halinde olan Eigen değerlerinin  $(3p)$  kadarı  $[G] = [A][D]$ ,  $p$  kadarı da  $[C] = [A]^T[F]$  denklem sistemine aittir. Her iki denklem sisteminde  $p = N$  ve  $p = M$  olmalıdır.

$$[A] = [U] \quad [\Lambda] \quad [V]^T \quad (8)$$

$$(NxM) \quad (Nxp) \quad (pxp) \quad (pxM)$$

$(pxp)$  boyutlu  $[\Lambda]$  matrisi sıfırdan farklı Eigen değerlerini içeren köşegen matristir.  $[U]$  ve  $[V]$  ise Eigen vektörlerinden oluşan  $(Nxp)$  ve  $(Mxp)$  boyutlu matrislerdir. Lanczos,  $[A]$ 'nın doğal tersi  $[B]$ 'yi aşağıdaki şekilde tanımlamıştır.

$$[B] = [V] \quad [\Lambda]^{-1} \quad [U]^T \quad (9)$$

Buradan bulunması istenen değiştiren matrisi  $[D]$  elde edilir.

$$[D] = [B][G]. \quad (10)$$

$M$ ,  $N$  ve  $p$  değerlerine bağlı olarak problemi dört türlü irdeleyebiliriz.

(1) Bağımsız ve tam tanımlı düzel ( $M = N = p$ ): Bu koşullar altında tam ve tek bir çözüm vardır. Bu çözüm de  $D = A^{-1}G$  olarak tanımlanır.

(2) Kısıtlı ve tam tanımlı düzel ( $p = M < N$ ): Aşırı tanımlı denklemler sistemi olup  $A^TA$  tekildir.  $D = (A^TA)^{-1}G$  matris sistemi ile sağlanan çözüm standart en küçük kareler yöntemi olarak bilinir.

(3) Bağımsız ve eksik tanımlı düzel ( $p = N < M$ ): Bu düzende denklem sayısı bilinmeyen sayılarından azdır. Genelleştirilmiş ters çözüm  $D = A^T(AA^T)^{-1}G$  matris sisteminin çözümüyle sağlanır. Bu çözüm tekil değildir, fakat genel formülleştirmede sıfır Eigen değerlerine karşılık gelen Eigen vektörlerinin etkileri ortadan kaldırılır. Bu duruma birçok jeofizik ters çözüm işleminde karşılaşılır (Jackson 1972).

(4) Kısıtlı ve eksik taraklı düzel ( $p < M$  ve  $N$ ): Bu düzende çözüm  $M$  ve  $N$  değerlerine bağlıdır. Eğer  $M = N$

ise  $A$ ,  $M < N$  ise  $(A^TA)$  tekildir. Deklemin sağ tarafı uyumluluk koşullarına bağlıdır.

Lanczos yöntemiyle matrisin tersini bulmak asılnda bir en küçük kareler matris tersini bulma işlemidir.  $|A|$  ve onun tersi olan  $[B]$  matrislerini kullanarak oluşturulan yeni iki matris yardımıyla ters çözüm irdelemelerini gerçekleştirebilirz. (Jackson 1972). Bunlar Ayırmılık matrisi  $[D]$  ve Bilgi yoğunluk matrisi  $[S]$ 'dır ve

$$\begin{aligned} [R] &= [B][A] = VV^T \\ [S] &= [A][B] = UU^T \end{aligned} \quad (11)$$

denklemeleriyle verilir.  $[R]$  matrisi  $(M \times M)$ ,  $[S]$  matrisi ise  $(N \times N)$  boyutludur. ( $p = N < M$ ) olduğunda  $R$  matrisi verilen çıkartılabilen ayırmılığın derecesini gösterir. Eğer  $R$  matrisi birim matris ise çözüm tekildir ve tam ayırmılığa ulaşmıştır.  $R$  matrisinin satırları tekil çözüme ulaşmak için irdelenecek değerleri taşırlar. ( $p = M < N$ ) olduğunda ise  $S$  matrisi verinin bağımsızlık derecesini simgeler.  $S$  matrisinin köşegen elemanlarının değerleri de karşısına gelen gözlem değerlerinin model çözüme katkısının derecesini gösterir.

## YÖNTEM VE TEMELLERİ

Dikdörtgenler prizması şeklinde bloklardan oluşan bir modelde Şekil 1 sadece blokların yoğunlukları (veya suszeptibiliteri) değişken olarak alınmıştır. Her bloktaki yoğunlıkların tekdüze olduğu varsayılmıştır (Green 1975, Last ve Kubik 1983). Blokların neden olduğu gravite etkisi denklem (5)'den elde edilir. Eğer her gözlem noktasında  $e_i$  kadar gürültü olduğu varsayılsa  $i$ 'inci gözlem noktasındaki gravite değeri

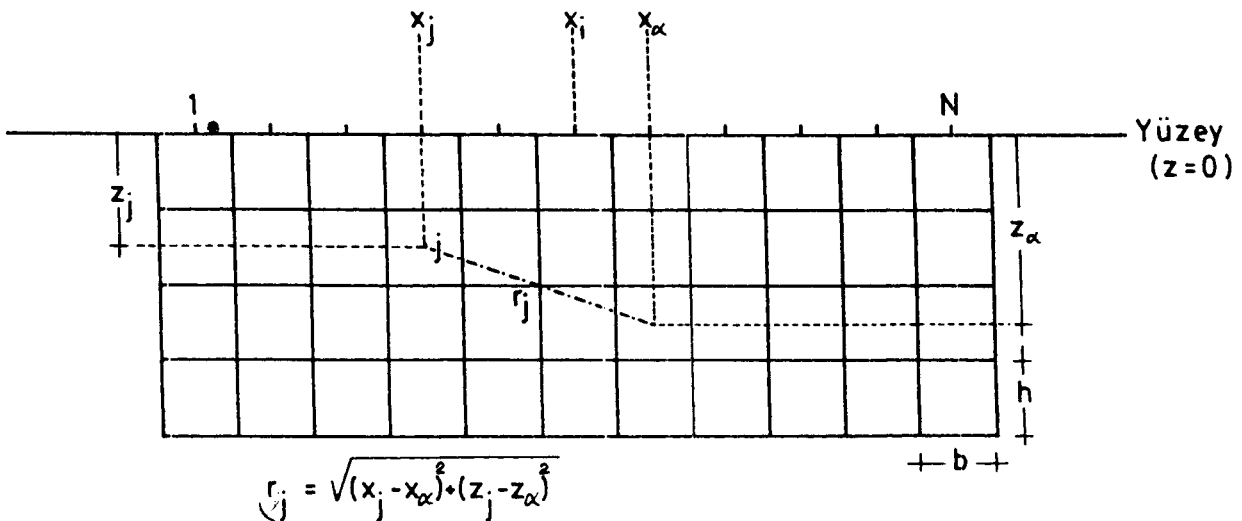
$$g_i = \sum_{j=1}^M a_{ij} d_j + e_i, \quad i = 1, 2, \dots, N \quad (12)$$

olur. Burada  $d_j$   $j$ 'inci bloğun yoğunluğu,  $e_i$   $i$ 'inci gözlem noktasındaki gürültü ve  $a_{ij}$  ise  $i$ 'inci gözlem noktasına  $j$ 'inci bloğun gravite etkisidir. Bu veri denklemlerinin matris gösterimi

$$[G] = [A][D] + E \quad (13)$$

şeklindedir.

Gravite ters çözümü, verilen bir  $[G]$  gözlem verilerini açıklayacak  $[D]$  yoğunluk değerlerinin saptanması işlemidir. Ters çözüm problemini tartışırken çözümün teknik olmadığını, veri sayısı ile değiştiren sayısının arasındaki ilişkilerden sonuca ulaşma yollarının araştırılması gerektiğini vurgulamıştık. Burada problemimizi ortaya koyduğumuz gibi yoğunlukla  $M > N$  (değiştiren sayısının veri sayısından fazla olması) olma olasılığının fazlalığından dolayı yoğunlıkların ve gürültülerin fonksiyonlarını en küçük yaparak çözüme ulaşabiliriz. Last ve Kubik (1983) yoğunluk ve gürültü fonksiyonlarını en küçük yapacak ağırlıklı en küçük kareler yöntemini kullanarak yoğunluk değerlerini bulmuşlardır. Böyle sistem-



Şekil 1. Elemanter dikdörtgen blokları gösteren iki boyutlu model.  
Fig. 1. The 2-D model showing an elementary rectangular block.

lerde yoğunluk ağırlık fonksiyonları varyans-kovaryans matrisi olarak alınmaktadır. Bloklar birbirlerinden bağımsız olduğundan kovaryans elemanları sıfır olarak alınabilmektedir.

$$q = \sum_{j=1}^M f_d(d_j) + \sum_{i=1}^N f_w(e_i) \dots \text{En Küçük} \quad (14)$$

Yoğunluk fonksiyonu  $f_d(d_j)$ :

$$f_d(d_j) = W_{d_j} \cdot d_j^2, \quad (15)$$

Gürültü fonksiyonu  $f_w(e_i)$ :

$$f_w(e_i) = W_{e_i} \cdot e_i^2 \quad (16)$$

Burada  $W_{d_j}$  ve  $W_{e_i}$  yoğunluk ve gürültü ağırlık fonksiyonlarıdır. Last ve Kubik (1983) tarafından izlenen yol, anomalisi neden olan alanın en küçüğe indirgenmesi (üç boyutlu durumda ise hacmi) yöntemidir. Eğer blokların kenar boyutları  $b$  ve  $h$  ise,

$$\text{Alan} = b \cdot h \lim_{\epsilon \rightarrow 0} \sum_{j=1}^M \frac{d_j^2}{(d_j^2 + \epsilon)} \quad (17)$$

( $\epsilon$  çok küçük bir değer) ile ifade edilir.

$$\text{Buradaki } wd_j \cdot d_j^2 = \frac{1}{(d_j^2 + \epsilon)} \cdot d_j^2$$

fonksiyonu verilen koşullarda ancak aşağıdaki değerleri alır.

$$\lim_{\epsilon \rightarrow 0} \frac{d_j^2}{d_j^2 + \epsilon} = \begin{cases} 0, & d = 0 \text{ için} \\ 1, & d \neq 0 \text{ için} \end{cases}$$

Bu sonuç bizi aşağıdaki yoğunluk ağırlık fonksiyonuna ulaştırır:

$$Wd_j = (d_j^2 + \epsilon)^{-1} \quad (18)$$

Eğer gürültülü veri söz konusu ise, denklem (14)'deki ikinci terim göz önüne alınmalıdır. Yukarıda tanımlanan problemin doğrusal olmaması nedeniyle yineleme yoluya çözülmesi gereklidir. Eğer gürültü oranı ( $I_0$ ) önceden saptanmışsa, her yinelemede yeni bir gürültü ağırlık fonksiyonu Jackson (1979) tarafından tanımlanan en küçük varyanslı en küçük kareler yöntemiyle bulunabilir.

$$[W_e]^{-1} = I_0^2 \text{ köşegen } [ [A] [W_d]^{-1} [A]^T ] \quad (19)$$

Yukarıdaki (19) denklemi gürültülerden bağımsız gürültü ağırlık fonksiyonunu tanımlar. Gerçek anlamda yapılan işlem bu ağırlıklı kalıntıların karelerinin toplamını en aza indirgememdir. Bu çözüm, eğer gürültüler dengeli olarak dağılmışsa sağlıklı sonuçlar verir. Gürültü dağılımı denegesiz ise, sıfırdan farklı kalıntıları en aza indirgeme yolunu araştırırız.

Yukarıda açıklanan alan (veya hacmi) en küçük yaparak ağırlık fonksiyonunun hesaplanması yöntemi idi. Bunun yerine Guillen ve Menichetti (1984) tarafından tanımlanan atalet momentini en aza indirgeyerek cisim ağırlık merkezi etrafında yoğunlaştırılması yöntemini kullanabilirmiz. Bu yönteme göre, Atalet momenti  $M$  tüm momentlerin ( $M_j$ ) toplamıdır:

$$M = \sum_{j=1}^N M_j. \quad (20)$$

Her bloğun yoğunluğu (veya süzeptibilitesi) sabit olduğunda  $j$ 'inci bloğun atalet momenti,

$$M_j = q_j d_j (k_j^2 + r_j^2) \quad (21)$$

ile verilir. Burada  $r_j$  bloğun ağırlık merkezinin toplam ağırlık merkezine olan uzaklışı ve  $k_j$  ise  $j$ 'inci blok ele-

manının biçimine bağlı katsayıdır.  $q_j$  blok alanını veya hacmini göstermektedir. Ağırlık fonksiyonu

$$W_j = \frac{q_j (k_j^2 + r_j^2)}{|d_j| + \epsilon} \quad (22)$$

bağıntısı ile verilir. Blokların atalet momentleri  $M_j$  ve rilen koşullarda,

$$M_j \lim_{\epsilon \rightarrow 0} = \frac{q_j (k_j^2 + r_j^2)}{|d_j| + \epsilon} d_j^2 \begin{cases} = 0, & \text{eğer } d_j = 0 \\ = q_j (k_j^2 + r_j^2) d_j, & \text{eğer } d_j \neq 0 \end{cases} \quad (23)$$

değerini alır. Buradaki  $k_j$  katsayısı cisim iki boyutlu ise,

$$k_j^2 = \frac{h^2 + b^2}{12} \quad (24)$$

üç boyutlu ise,

$$k_j^2 = \frac{h^2 + b^2 + c^2}{3} \quad (25)$$

olarak tanımlanır.  $h$ ,  $b$ ,  $c$  blokların boyutlarını göstermektedir. Bu yöntemle elde edilecek yapı ağırlık merkezi etrafında toplanacaktır. İlk ağırlık merkezi en küçük kareler yöntemiyle bulunur. Problemin geri kalan işlem sırası ise yukarıda tanımladığı gibidir. Tanımlanan bu ikinci yöntem anomalide neden olan kütle tek olması halinde gerçekçi bir yoldur.

### HESAPLAMA YÖNTEMİ VE VARSAYIMLAR

Gürültü ve yoğunluk ağırlık fonksiyonları daha önce tanımladığı gibi gürültü ve yoğunluklardan bağımsızdır. Denklem (12)'de belirtilen problemin çözümü en küçük kareler yöntemine dönüştür (Last ve Kubik 1983).

$$\hat{D} = [W_d]^{-1} [A]^T [[A] [W_d]^{-1} [A]^T + [W_e]^{-1}]^{-1} \cdot [G] \quad (26)$$

Eğer yoğunluk ağırlık fonksiyonu  $[W_d] = [I]$  birim olarak kabul edilirse, gürültünün olmadığı durumlarda denklem aşağıdaki şekilde yazılabilir.

$$\hat{D} = [A]^T [[A] [A]^T]^{-1} \cdot [G] \quad (27)$$

Fakat bu durum jeolojik olarak kabul edilemeyecek yoğunluk dağılımına neden olur. Bu nedenle, değişken  $[W_d]$  ve  $[W_e]$  ağırlık fonksiyonları yineleme işleminin her aşamasında işleme sokulmalıdır. Denklem (26) k'inci işlem adımımda

$$\begin{aligned} \hat{D}^{(k)} &= [W_d^{(k-1)}]^{-1} [A]^T \left\{ [A] [W_d^{(k-1)}]^{-1} \right. \\ &\quad \left. [A]^T + [W_e^{(k-1)}]^{-1} \right\}^{-1} [G] \end{aligned} \quad (28)$$

ve her işlem adımımda da  $W_d$  ile  $W_e$ ;

$$[W_d^{(k-1)}]_{jj}^{-1} = [d_j^{(k-1)}]^2 + \epsilon, \quad (29)$$

$$[W_e^{(k-1)}]_{ii}^{-1} = l_0^2 \text{ köşegen} [[A] [W_d^{(k-1)}]^{-1} [A]^T] \quad (30)$$

olarak tanımlanır. Çözüme ulaşabilmek için ilk yinelemede:

$$[W_d^{(0)}] = [I] \quad (31)$$

birim matris olarak verilir. Bundan da  $W_e$  gürültü ağırlık fonksiyonu ilksel olarak bulunarak yineleme işlemine başlanabilir. Denklem (28) kullanılarak blokların yoğunlukları saptanır. Ağırlık fonksiyonlarında kullanılan  $\epsilon$  çok küçük artım miktarıdır. Örneğin kullanılan bilgisayarın duyarlılığı (hata limiti) olarak alınabilir. Gürültü miktarının ( $l_0$ ) bulunması yöntemin uygulanmasında önemli olmamakla birlikte saptanması oldukça güçtür. Fakat Gürültü/Sinyal oranın  $l_0$ 'ı seçme sınırımız oldukça genişir.

Eğer veride gürültü normal olarak dağılmamışsa ve birkaç tane aşırı gürültülü nokta varsa sıfırdan farklı kalıntıları en küçük yapacak yeni gürültü ağırlık fonksiyonu  $W_e$  aşağıdaki şekilde tanımlanmalıdır.

$$[W_e]_{ij}^{-1} = l_0^2 [P]_{ii} C_0 (e_i^2 + n) \delta_{ij} \begin{cases} i = j & \delta_{ij} = 1 \\ i \neq j & \delta_{ij} = 0 \end{cases} \quad (32)$$

Burada  $[P] = [A] [W_d]^{-1} [A]^T$  olup,  $C_0$  normalleştirme sabitidir.

$$C_0 = \frac{\sum e_i^2 / [[P]_{ii} (e_i^2 + n)]}{\sum e_i^2 / [P]_{ii}} \quad (33)$$

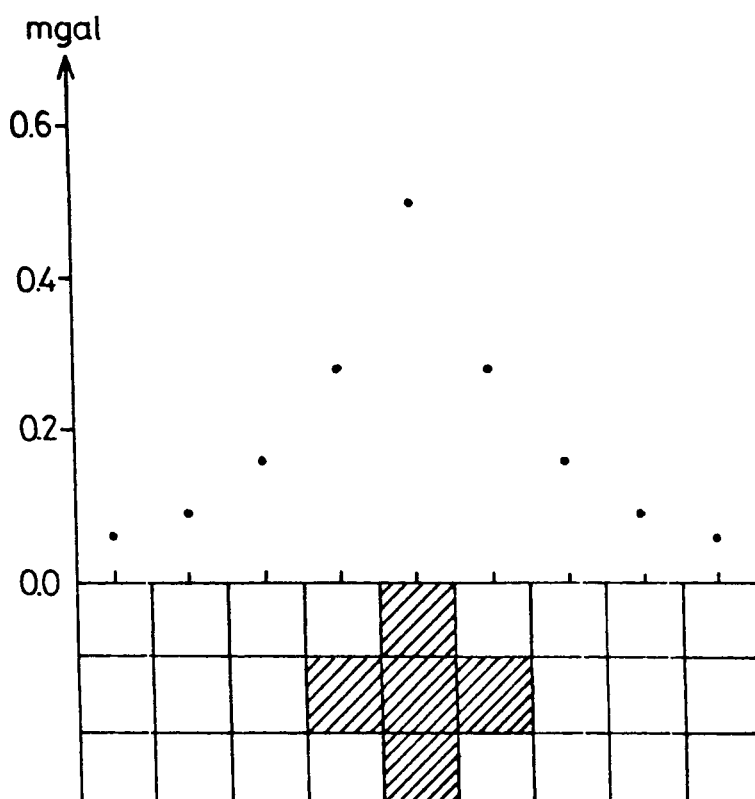
$\delta_{ij}$  ise Kronecker delta değeridir.  $n$  değeri çok küçüktür ve  $\epsilon$  değerine yakın seçilebilir. Bu konunun irdelemesi ayrıntılı olarak Last ve Kubik (1983) tarafından verilmiştir.

### YOĞUNLUKLARI SINIRLAMAK VE TEK YOĞUNLUK MODELİ

Çoğu kez, çevresiyle tek yoğunluk farkı oluşturan yapının araştırılması sorunuyla karşılaşırız. Denklem (26)'ya eklenecek yeni bir sınırlama koşuluyla bu amacımızı gerçekleştirebiliriz.

$$d_j / d_0 \leq 1, \quad j = 1, 2, \dots, M. \quad (34)$$

Burada  $d_0$  ulaşmak istenen yoğunluktur. Eğer yineleme adımlarında bir bloğun yoğunluğu ulaşmak istenen yoğunluğa erişmiş veya aşmışsa bu bloğun yoğunluğu  $d_0$  olarak kabul edilir ve dondurulur. Yoğunluğu dondurulan



a) Model Yapı

$\Delta\rho = 1 \text{ gr/cm}^3$

-0.03	-0.02	0.06	0.27	1.36	0.27	0.05	-0.02	-0.03
0.03	0.07	0.16	0.34	0.50	0.34	0.16	0.07	0.03
0.06	0.10	0.16	0.24	0.29	0.24	0.16	0.10	0.06

b) 1. Yineleme

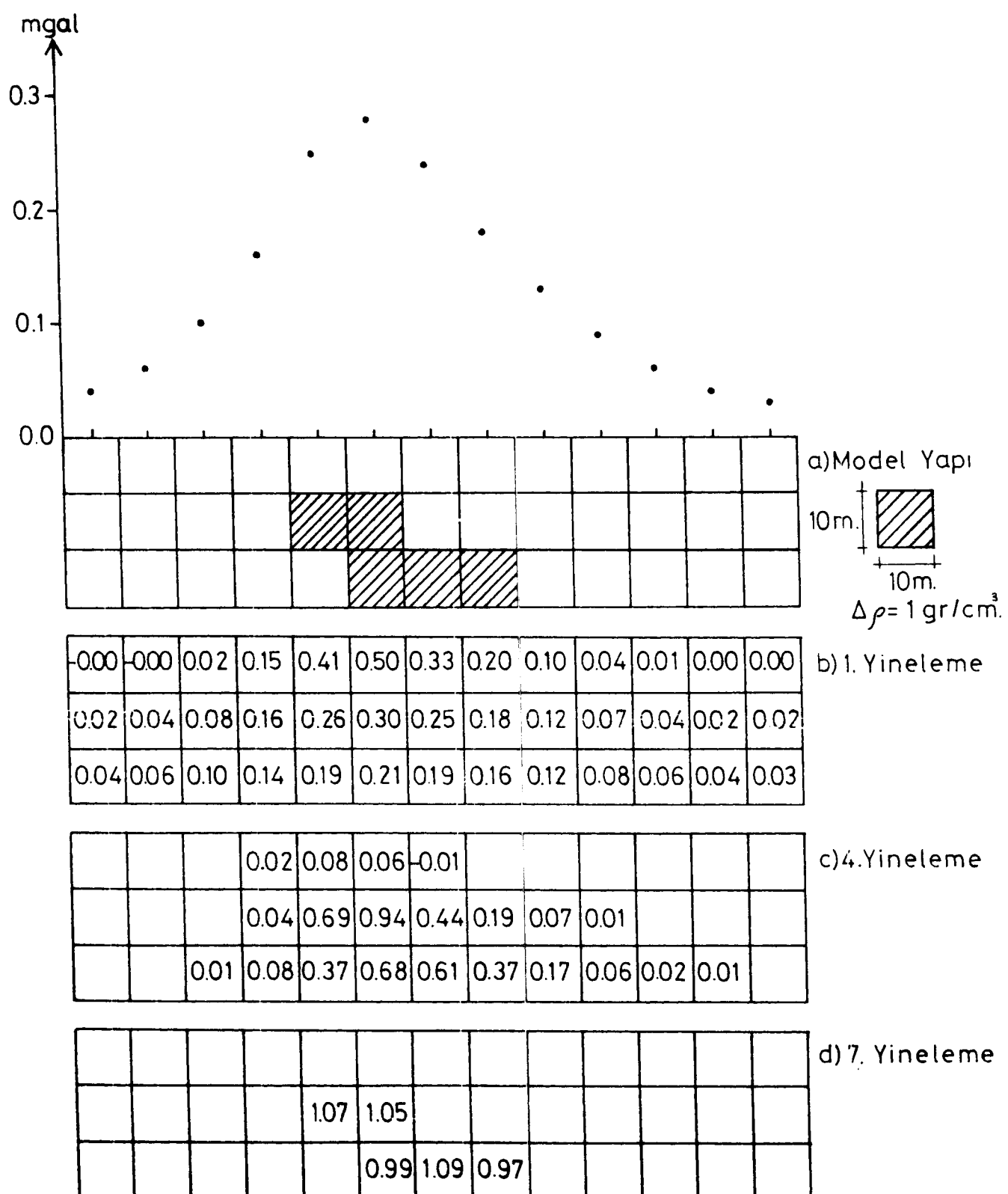
0.00	-0.00	0.01	-0.02	0.89	-0.02	0.01	-0.00	0.00
0.00	0.00	0.02	0.77	1.80	0.77	0.02	0.00	0.00
0.00	0.00	0.02	0.17	0.36	0.17	0.02	0.00	0.00

c) 4. Yineleme

				1.00				
				1.00	0.99	1.01		
				1.00				

d) 9. Yineleme

Şekil 2. Yoğunluk kısıtlamasız kuramsal haç modeli uygulaması  
 Fig. 2. Theoretical cross model example without density constraint



Şekil 3. Yoğunluk kısıtlamasız kuramsal basamak modeli uygulaması  
Fig. 3. Theoretical step model example without density constraint

bloğun gravite etkisi gözlem değerinden çıkarılır ve  $(k-1)$ 'inci yineleme sonunda indirgenmiş veri vektörünün  $G^*$  değerleri:

$$g_i^{*(k)} = g_i - d_0 \sum_{j=1}^M A_{ij} \Theta(d_j^{(k-1)}/d_0) \quad (35)$$

olur. Burada Heaviside basamak fonksiyonu verilen koşullarda

$$\Theta(d_j/d_0) = \begin{cases} 0 & , \text{ eğer } d_j < d_0 \\ 1 & , \text{ eğer } d_j \geq d_0 \end{cases} \quad (36)$$

olarak tanımlanır. Dolayısıyla yeni tanımlanan yoğunluk ağırlık fonksiyonu aşağıdaki gibidir.

$$[W^{*(k)}]^{-1} = \epsilon + (d_j^{(k-1)})^2 \{ 1 - \Theta(d_j^{(k-1)}/d_0) \} \quad (37)$$

Bloklar  $d_0$  yoğunluk sınırını aşıkça dondurulacağından her aşamada yeni  $l_0$  değeri saptanmalıdır. Blok etkilerinin çıkarılması öncesi ve sonrası en büyük sinyal genliklerinin oranı ile  $l_0$  değeri çarpılarak yeni  $l_0$  değeri elde edilir.

$$l_0^{(k)} = l_0^{(k-1)} - \frac{|g_i^* - e_i|_{\max}^{(k-1)}}{|g_i^* - e_i|_{\max}^{(k)}} \quad (38)$$

Bulunan bu yeni  $l_0$  değerini kullanarak denklem (30)'daki gürültü ağırlık fonksiyonu  $W_e^*$  tekrar hesaplanır. Yoğunluklar ise,

$$d_j^{(k)} = \left\{ [W_d^*]^{-1} [A]^T \{ [A] [W_d^*]^{-1} [A]^T + [W_e^*]^{-1} \}^{-1} [G^*(k)] \right\}_j + d_0 \Theta(d_j^{(k-1)}/d_0) \quad (39)$$

denklemi yardımıyla hesaplanır. Bu denklem (26)'nın tek yoğunluk uygulamasıdır. Her yinelemede yoğunluk sınırını aşan bloklara da küçük bir düzeltme uygulanır. Eğer düzeltme miktarları ters yönde ise, bu blok yoğunlukları tekrar işleme girer, eğer aynı yönde ise bu bloklara ait büyük ağırlıklar korunarak ve blok yoğunluğu  $d_0$  değerinde tutularak bir sonraki yineleme işlemesinde kullanılır.

Jeolojik koşullar göz önünde bulundurularak yoğunlukların belirli sınırlar arasında tutulması da istenebilir. Yoğunluk sınırları

$$d_{\min} \leq d \leq d_{\max} \quad (40)$$

olarak seçildiği gibi, bunu her blok içinde düşünebiliriz. Yineleme işlemi sırasında, eğer bir veya daha fazla blok yoğunlukları belirlenen yoğunluk sınırları dışına taşarsa, bunlar sınır değerlerine taşınır ve dondurulur. Bu durumda  $\Theta$  fonksiyonunun iki ayrı koşuluna göre yoğunluk ağırlık fonksiyonunu tanımlamak gerekmektedir.

$$\Theta_1(d_j/d_{\min}) = \begin{cases} 1 & , \text{ eğer } d_j \leq d_{\min} \\ 0 & , \text{ eğer } d_j > d_{\min} \end{cases}$$

$$\Theta_2(d_j/d_{\max}) = \begin{cases} 1 & , \text{ eğer } d_j < d_{\max} \\ 0 & , \text{ eğer } d_j \geq d_{\max} \end{cases}$$

koşullarında yeni ağırlık fonksiyonu,

$$[W^{*(k)}]^{-1} = \epsilon + (d_j^{(k-1)})^2 \{ 1 - \Theta_1(d_j^{(k-1)}/d_{\min}) + \Theta_2(d_j^{(k-1)}/d_{\max}) \} \quad (41)$$

olarak tanımlanır. Bu blokların ağırlık fonksiyonlarına çok büyük bir değer atanır ve gravite etkileri aynen tek yoğunluk modelinde olduğu gibi gözlenen anomali değerinden çıkarılır. Bir sonraki yineleme işlemesinde yeni  $D^{(k)}$ ,  $G^{(k)}$  ve  $W_d^{(k)}$  değerleri kullanılır.

## BİLGİ YOĞUNLUK VE AYIRIMLILIK MATRİSLERİ

Verinin çözüme katkısını belirleyen Bilgi Yoğunluk Matrisi ( $S$ )'nin bu tür ters çözüm işleminde anlamı yoktur. Çünkü veriye uygun yoğunluk dağılımı sağlanmaktadır. Bilgi Yoğunluk Matrisi,

$$[S] = [A] [W_d]^{-1} [A]^T \{ [A] [W_d]^{-1} [A]^T + [W_e]^{-1} \}^{-1} \quad (42)$$

derleminden hesaplanabilir. Bu matrisin köşegen elemanları bir ve bire yakın değerler alırlar.

Blok yoğunluklarının bulunmasında önemli bir belirteç olan Ayirimlilik Matrisi ( $R$ ) ise aşağıdaki bağlantıyla bulunabilir.

$$[R] = [W_d]^{-1} [A]^T \{ [A] [W_d]^{-1} [A]^T + [W_e]^{-1} \}^{-1} [A] \quad (43)$$

Bu matristeki köşegen değerler de çözüme ulaşmadaki başarayı gösterir ve birime yakın olması çözümü simgelemektedir.

## UYGULAMALAR

### Yoğunluk Kısıtlamasız Çözüm

Şekil 2a ve 3a'da görülen tek yoğunluklu yoğunluk kısıtlamasız model yapılarının oluşturdukları anomali değerleri yukarıda tanımlanan yöntemle irdelemiştir. Taralı blokların yoğunlukları  $1 \text{ gr/cm}^3$  olarak alınmıştır. Şekil 2b ve 3b'de görülen ilk yinelemenin sonuçlarında modeli tanımlayan yoğunluk değerleri bloklar arasında gelişigüzel dağılmıştır. Yineleme işlemi ilerledikçe, bloklar arasında dağılan yoğunluk değerleri giderek model yapıya doğru yaklaşmaktadır (Şekil 2c ve 3c). Devam eden yineleme işlemi sonucunda model yapıyı tanımlayan yoğunluk değerleri belirgin olarak gözlenmektedir (Şekil 2d ve 3d). Şekil 4 ile Şekil 5, Şekil 2 ve Şekil 3'de görülen model yapılarının ters çözüm işlemesinde sürdürülür yi-

0.8	0.9	0.9	0.9	0.9	0.9	0.9	0.9	0.8
0.1	0.1	0.1	0.1	0.1	0.1	0.1	0.1	0.1
0.0	0.0	0.0	0.0	0.0	0.0	0.0	0.0	0.0

1. Yineleme

0.5	0.3	0.6	0.3	1.0	0.4	0.6	0.3	0.5
0.0	0.0	0.3	0.8	0.8	0.8	0.3	0.0	0.0
0.0	0.0	0.1	0.4	0.3	0.4	0.1	0.0	0.0

4. Yineleme

0.7	0.7	0.4	0.1	1.0	0.1	0.4	0.7	0.7
0.1	0.0	0.0	1.0	1.0	1.0	0.0	0.0	0.1
0.0	0.0	0.0	0.0	1.0	0.0	0.0	0.0	0.0

9. Yineleme

Şekil 4. Haç modeli uygulamasının ayrımlılık dizeyi gösterimi  
 Fig. 4. Resolution matrix for the cross model application

0.8	0.9	0.9	0.9	0.9	0.9	0.9	0.9	0.9	0.9	0.9	0.9	0.8
0.1	0.1	0.1	0.1	0.1	0.1	0.1	0.1	0.1	0.1	0.1	0.1	0.1
0.0	0.0	0.0	0.0	0.0	0.0	0.0	0.0	0.0	0.0	0.0	0.0	0.0

1. Yineleme

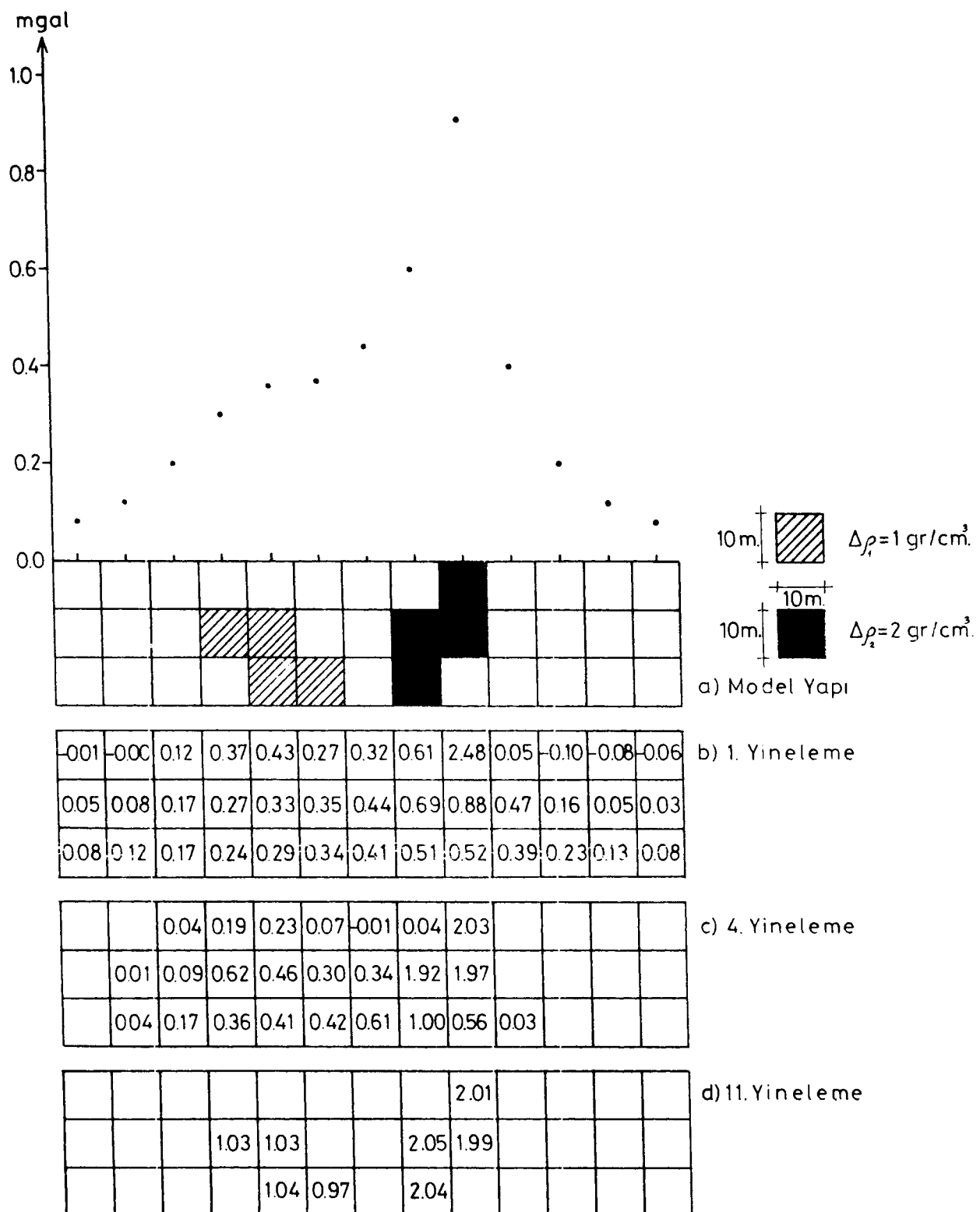
0.5	0.5	0.1	0.8	0.9	0.8	0.6	0.5	0.6	0.2	0.4	0.6	0.6
0.1	0.0	0.0	0.6	0.5	0.4	0.4	0.5	0.5	0.3	0.1	0.1	0.2
0.1	0.1	0.1	0.2	0.3	0.2	0.2	0.2	0.3	0.3	0.2	0.2	0.1

4. Yineleme

0.8	0.8	0.6	0.6	0.2	0.0	0.1	0.3	0.5	0.6	0.8	0.8	0.8
0.1	0.0	0.0	0.0	1.0	1.0	0.0	0.3	0.0	0.0	0.0	0.1	0.1
0.0	0.0	0.0	0.0	0.0	1.0	1.0	1.0	0.0	0.0	0.0	0.0	0.0

7. Yineleme

Şekil 5. Basamak modeli uygulamasının ayrımlılık dizeyi gösterimi  
 Fig. 5. Resolution matrix for the step model application



Şekil 6. Yoğunluk kısıtlamasız iki ayrı yoğunluk kuramsal modeli uygulaması  
Fig. 6. Theoretical two different density model example without density constraint

0.8	0.9	0.9	0.9	0.9	0.9	0.9	0.9	0.9	0.9	0.9	0.9	0.9	0.8
0.1	0.1	0.1	0.1	0.1	0.1	0.1	0.1	0.1	0.1	0.1	0.1	0.1	0.1
0.0	0.0	0.0	0.0	0.0	0.0	0.0	0.0	0.0	0.0	0.0	0.0	0.0	0.0

1. Yineleme

0.1	0.1	0.9	0.9	0.9	0.7	0.3	0.6	1.0	0.0	0.7	0.4	0.8	
0.0	0.1	0.6	0.3	0.2	0.2	0.4	0.7	1.0	0.0	0.0	0.0	0.0	0.0
0.0	0.2	0.3	0.2	0.1	0.1	0.1	0.3	0.5	0.2	0.0	0.0	0.0	0.0

4. Yineleme

0.6	0.6	0.6	0.2	0.1	0.2	0.3	0.1	1.0	0.1	0.7	0.7	0.8	
0.0	0.0	0.0	1.0	1.0	0.0	0.0	1.0	1.0	0.0	0.0	0.0	0.0	0.1
0.0	0.0	0.0	0.0	1.0	1.0	0.0	1.0	0.0	0.0	0.0	0.0	0.0	0.0

12. Yineleme

Şekil 7. İki ayrı yoğunluk modeli uygulamasının ayırmılık dizeyi gösterimi  
 Fig. 7. Resolution matrix for the two different density model application

nelemeler boyunca ayırmılık dizeyi R'nin köşegen elemanlarının aldığı değerleri göstermektedir. Görüldüğü gibi, işlemler sırasında model yapıyı tanımlayan yoğunluk değerlerinin saptandığı yinelemelerde ayırmılık dizeyi R'nin köşegen elemanları yapının yeraldığı bloklarda birim (1) değerini almaktadır.

Şekil 6'a ise taralı blokların yoğunluğu  $1 \text{ gr/cm}^3$ , içi dolu blokların yoğunluğu  $2 \text{ gr/cm}^3$  olarak alınan iki farklı yoğunluklu model yapı ve oluşturduğu anomalî değerleri görülmektedir. Önceki örneklerde de görüldüğü gibi, ilk yinelemede yoğunluk değerleri tüm bloklara dağılmış (Şekil 6b), artan yineleme işlemi sayısı ile de blokların yoğunlukları model yapıların yer aldığı bloklara doğru yoğunlaşarak model yapıların şeklini oluşturmuştur (Şekil 6c, 6d). Ayırmılık dizeyi R'nin köşegen elemanları model yapıının saptandığı yinelemede, yapının yer aldığı bloklarda birim (1) değerini almaktadır (Şekil 7).

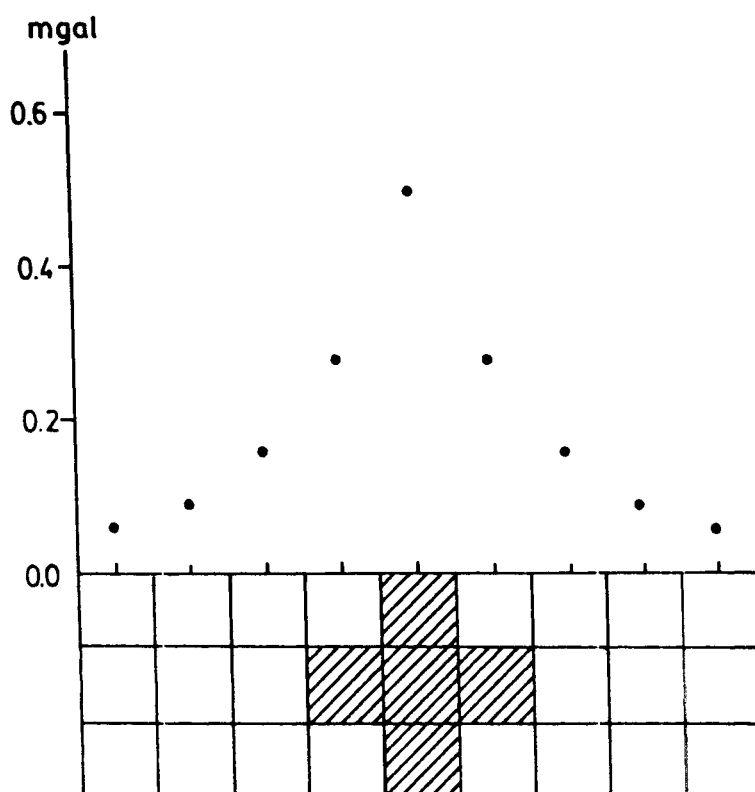
### Yoğunluk Kısıtlamalı Çözüm

Şekil 2a'da görülen model yapının oluşturduğu verilere yoğunluk kısıtlamalı ters çözüm işlemi uygulanırken, model yapının yer aldığı blokların yoğunlukları  $1 \text{ gr/cm}^3$ 'ü aşmama koşulu ile kısıtlandırılmıştır. Böylelikle, yoğunluğu  $1 \text{ gr/cm}^3$ 'ü aşan blokların yoğunlukları dondurularak gravite etkisi yineleme işleminde gözlem değerinden çıkarılmış, sonuca yoğunluk kısıtlamasız ters çözüm

işlemine oranla hızlı bir şekilde ulaşmak amaçlanmıştır. Şekil 8'de de görüldüğü gibi, yoğunluk değerleri 8'inci yinelemede model yapının tanımlanıldığı bloklarda 1 değerini almıştır. Bu uygulama sırasında da ayırmılık dizeyi R'nin köşegen elemanlarının modelin saptandığı yinelemede yapının yer aldığı bloklarda birim (1) değerini aldığı görülmüştür.

Kuramsal modeller üzerinde yapılan bu uygulamalarдан sonra, yöntem yoğunluk kısıtlamalı ve yoğunluk kısıtlamasız olması koşullarına göre Aydın-Germencik gravite verilerine uygulanmıştır.

Yoğunluk kısıtlamasız ters çözüm uygulamasında çözüme altıncı yinelemeden itibaren ulaşımakla birlikte, yapıyı tanımlayan blokların yoğunluklarının yüzeye doğru yoğunlaştiği gözlenmiştir (Şekil 9). Bu nedenle, Talwani modelleme çalışması ile saptanan 3 km'lik derinlik 2 km olarak bulunmuştur. Derinlikler arası farkın nedeni ise olasılıkla, gözlenen arazi anomalisine neden olan jeolojik yapıların tekdüze bir yoğunluğa sahip olmamalarıdır. İnceleme alanında yer alan jeolojik yapıların yoğunluklarının tekdüze olmaması ve hızlı bir değişim göstermesi nedeniyle, saptanan anomali aranan jeolojik yapıyı tam olarak simgelememektedir. Bu amaçla yoğunluk kısıtlamalı ters çözümde var olabilecek bozucu etkilerin giderilmesi için bir kısıtlama işlemi uygulanmıştır. Ters çözüm işlemine uygulanan yoğunluk kısıtlaması ile, gerçek arazi verilerinden olası jeolojik yapıya daha uygun sonuçlar elde edilmiştir. Ayrıca, bu kısıtlama işlemi kullanılan bilgisayar zamanını da oldukça kısaltmaktadır.



a) Model Yapı

$\Delta\rho = 1 \text{ gr/cm}^3$   
 $D_{\max} = 1 \text{ gr/cm}^3$

10m.      10m.

-0.03	-0.02	0.06	0.27	1.36	0.27	0.06	-0.02	-0.03
0.03	0.07	0.16	0.34	0.50	0.34	0.16	0.07	0.03
0.06	0.10	0.16	0.24	0.29	0.24	0.16	0.10	0.06

b) 1. Yineleme

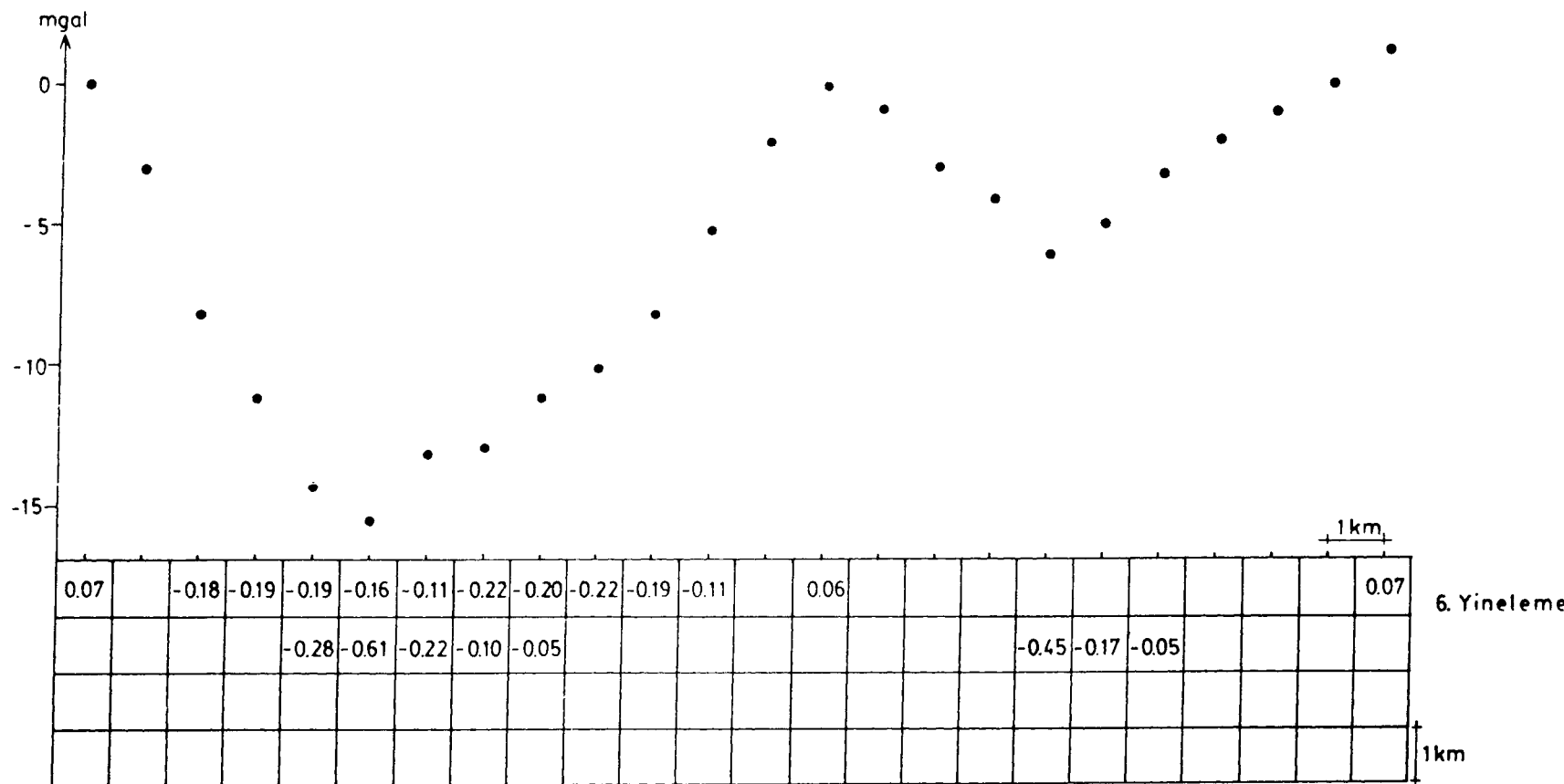
		0.01	-0.02	0.89	-0.02	0.01		
		0.02	0.78	1.79	0.79	0.02		
		0.02	0.17	0.36	0.17	0.02		

c) 4. Yineleme

				1.00				
				0.99	1.01	1.00		
				1.01				

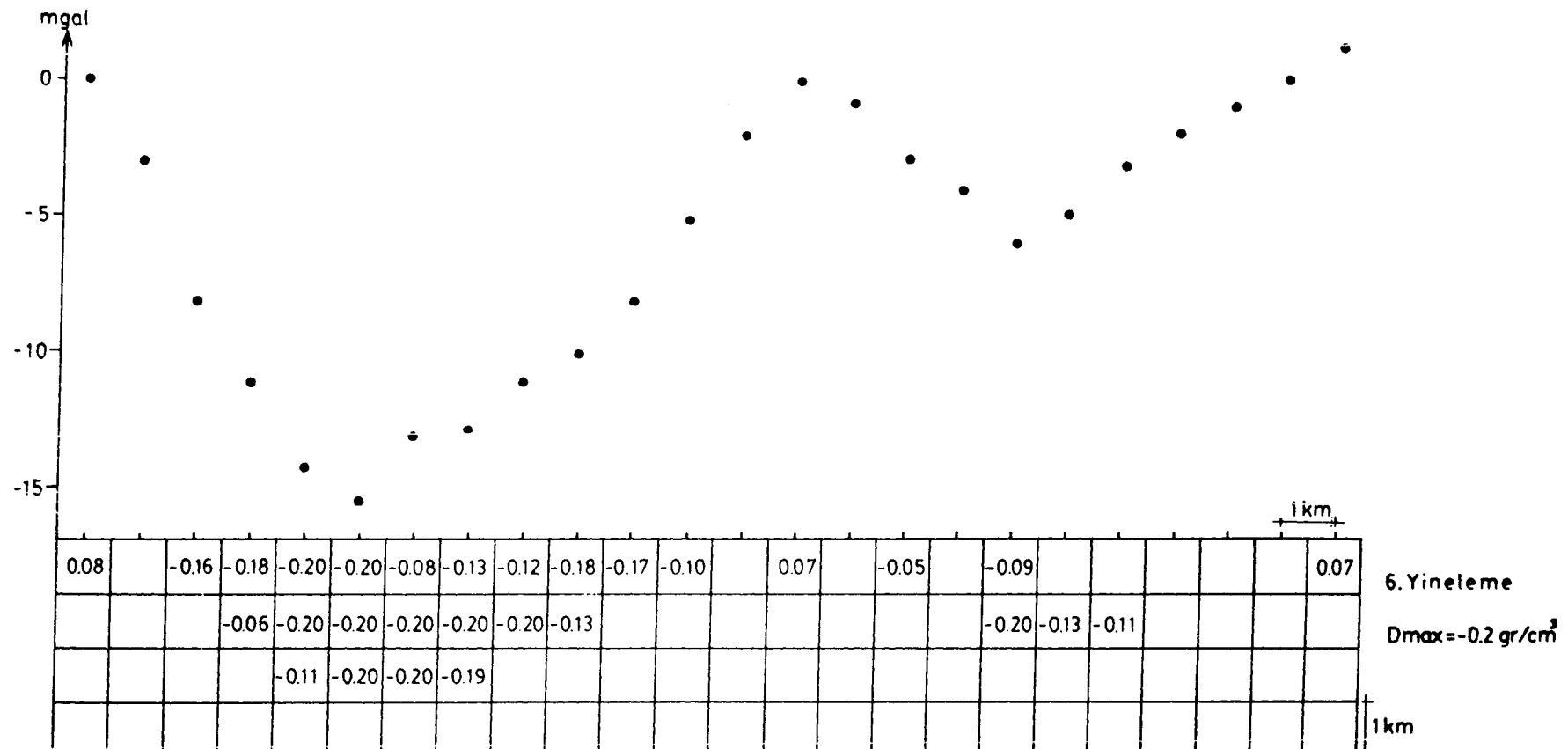
d) 9. Yineleme

Şekil 8. Yoğunluk kısıtlamalı kuramsal haç modeli uygulaması  
 Fig. 8. Theoretical cross model example with density constraint

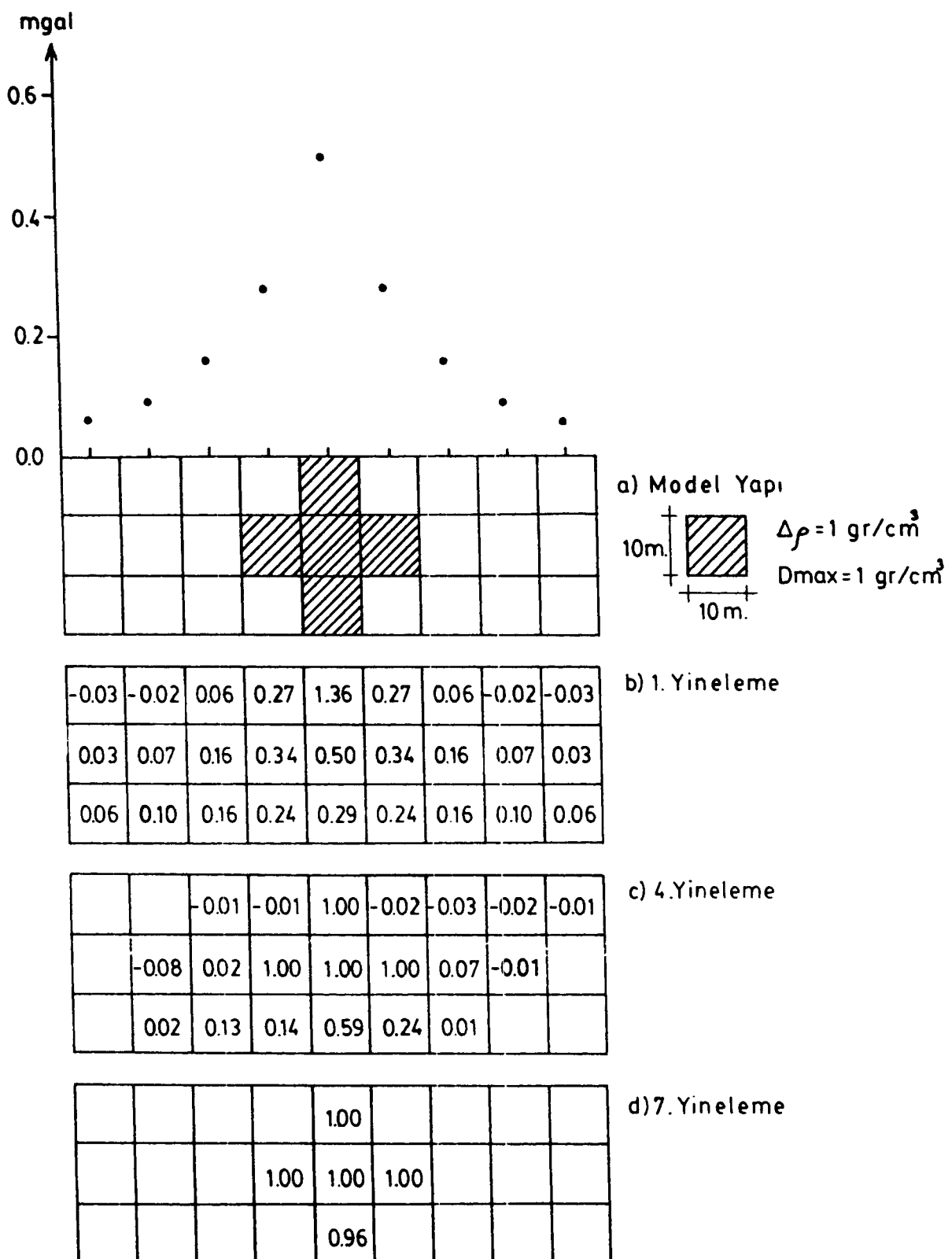


Şekil  
Fig.

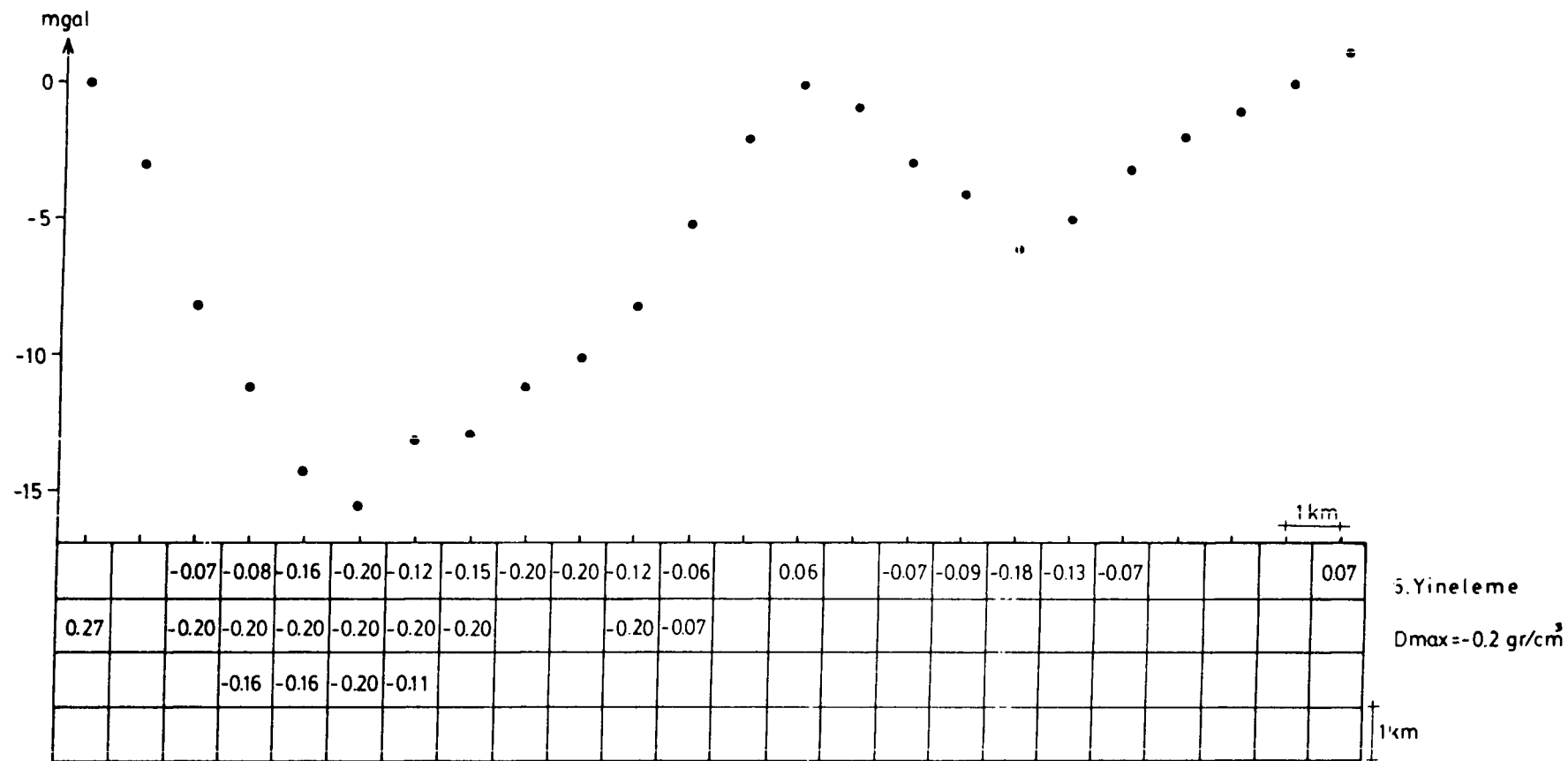
9. Germencik (Aydin) residüel Bouguer gravite anomalisinin yoğunluk kısıtlamasız en küçük hacim yaklaşımıyla çözümü  
9. Interpretation of the residual Bouguer gravity anomaly of Germencik (Aydin) according to the minimum volume approach without density constraint



Şekil 10. Germencik (Aydin) residüel Bouguer gravite anomalisinin yoğunluk kısıtlamalı en küçük hacim yaklaşımıyla çözümü  
Fig. 10. Interpretation of the residual Bouguer gravity anomaly of Germencik (Aydin) according to the minimum volume approach with density constraint



Şekil 11. Yoğunluk kısıtlamalı kuramsal hac modelinin ağırlık merkezine göre çözümü  
Fig. 11. Theoretical cross model example with density constraint according to the center of gravity approach



Şekil 12. Germencik (Aydin) residüel Bouguer gravite anomalisinin yoğunluk kısıtlamalı ağırlık merkezine göre çözümü  
 Fig. 12. Interpretation of the residual Bouguer gravity anomaly of Germencik (Aydin) according to the center of gravity approach

Yoğunluk kısıtlamalı ters çözüm uygulamasında ise, yapının yer aldığı bloklardaki yoğunluk farkı  $0.2 \text{ gr/cm}^3$ 'ü aşmama koşulu ile kısıtlanmıştır. Kuramsal çalışmada olduğu gibi,  $0.2 \text{ gr/cm}^3$ 'ü aşan blokların yoğunlukları dondurulmuş, gravite etkileri yineleme sırasında gözlem değerinden çıkarılarak sonuca ulaşmak istenmiştir. Gözlenen anomali değerlerine uygulanan yöntem 6'inci yinelemede sonuca ulaşmış, Talwani modelleme çalışmasında olduğu gibi yapının derinliği 3 km. olarak saptanmıştır (Şekil 10).

## SONUÇLAR

İki boyutlu yapıların yarattığı gravite anomalisini verebilecek yoğunluk dağılımları, alanın en küçük yapılması ve cismin ağırlık merkezi etrafında yoğunlaştırılması yöntemler kuramsal modeller üzerinde yoğunluk kısıtlamasız ve yoğunluk kısıtlamalı olması koşullarına göre irdelenmiştir. Kuramsal modellerde, her iki çözüm yöntemiyle tam bir sonuca ulaşılmıştır. Fakat yoğunluk kısıtlamalı durumda, sonuca daha az sayıda yineleme aşamasından sonra ulaşmaktadır. Çözüme ulaşma ölçüyü hakkında ayırmılık matrisi kullanılarak bilgi edinilmektedir. Bilgisayar programının uzun zaman alması nedeniyle, kullanılacak arazi verisi ve blok sayısının sınırlı tutulması gerekmektedir.

Bu yöntemlerle elde edilecek yeraltı yoğunluk dağılımından sonra, herhangi bir bölgenin elde varolan jeolojik ve diğer bilgileri ışığında kuramsal modelleme yoluyla yorumuna gitmek daha kolay olacaktır. Ters çözüm yöntemleri tek başına sorunun yanıtını değildir. Burada amaç, belirli koşullar altında incelenen bölge hakkında ilk bilgileri ortaya koymaktır.

## KAYNAKLAR

- Al-Chalabi, M. 1971, Interpretation of gravity anomalies by non-linear optimisation, *Geophysical Prospecting* 20, 1-16.  
 Aydin, İ. 1987, Manyetik anomali veren kütlelerin düşey geometrisinin bulunması konusunda bir deneme, *Jeofizik* 1, 76-88.

- Backus, G.E. and Gilbert, J.F. 1967, Numerical application of a formalism for geophysical inverse problems, *Geophys. Jour.* 13, 247-276.  
 Backus, G.E. and Gilbert, J.F. 1968, The resolving power of gross earth data, *Geophys. Jour.* 16, 169-205.  
 Backus, G.E. and Gilbert, J.F. 1970, Uniqueness in the inversion of inaccurate gross earth data, *Phil. Trans. Roy. Soc. London*, A. 266, 123-192.  
 Bott, M.H.P. 1973, Inverse methods in the interpretation of magnetic and gravity anomalies, *Methods in Computational Physics*.  
 Cuer, M. and Bayer, R. 1980, Fortran routines for linear inverse problems, *Geophysics* 45, 1706-1719.  
 Fischer, N.J. and Howard, L.E. 1980, Gravity interpretation with the aid of quadratic programming, *Geophysics* 45, 402-419.  
 Green, W.R. 1975, Inversion of gravity profiles by use of Backus-Gilbert approach, *Geophysics* 40, 763-772.  
 Guillen, A. and Menichetti, V. 1984, Gravity and magnetic inversion with minimization of a specific functional, *Geophysics* 49, 1354-1360.  
 Jackson, D.D. 1972, Interpretation of inaccurate, insufficient and inconsistent data, *Geophy. J. Roy. Astr. Soc.* 28, 97-109.  
 Jackson, D.D. 1979, The use of priori data to resolve non-uniqueness in linear inversion, *Geophys. J. Roy. Astr. Soc.* 57, 137-157.  
 Lanczos, C. 1961, *Linear Differential Operators*, D. Van Nostrand, Princeton, New Jersey.  
 Last, B.J. and Kubik, K. 1983, Compact gravity inversion, *Geophysics* 48, 713-721.  
 Mottl, J. and Mottlova, L. 1972, Solution of the inverse gravity problem with the aid of integer linear programming, *Geo-exploration* 10, 53-62.  
 Pedersen, L.B. 1977, Interpretation of potential field data, a generalized inverse approach, *Geophysical Prospecting* 25, 199-230.  
 Pedersen, L.B. 1979, Constrained inversion of potential field data, *Geophysical Prospecting* 27, 726-748.  
 Safon, C., Vasseur, G. and Cuer, M. 1977, Some applications of linear programming to the inverse gravity problem, *Geophysics* 42, 1215-1223.  
 Telford, W.M., Geldart, L.P., Sheriff, R.E. and Keys, D.A. 1976, *Applied Geophysics*, Cambridge University Press, Cambridge.  
 Wiggins, R.A. 1972, The general linear inverse problem: Implication of surface wave and free oscillations for earth structure, *Rev. Geophys. and Space Phys.* 10, 251-285.